

1









13

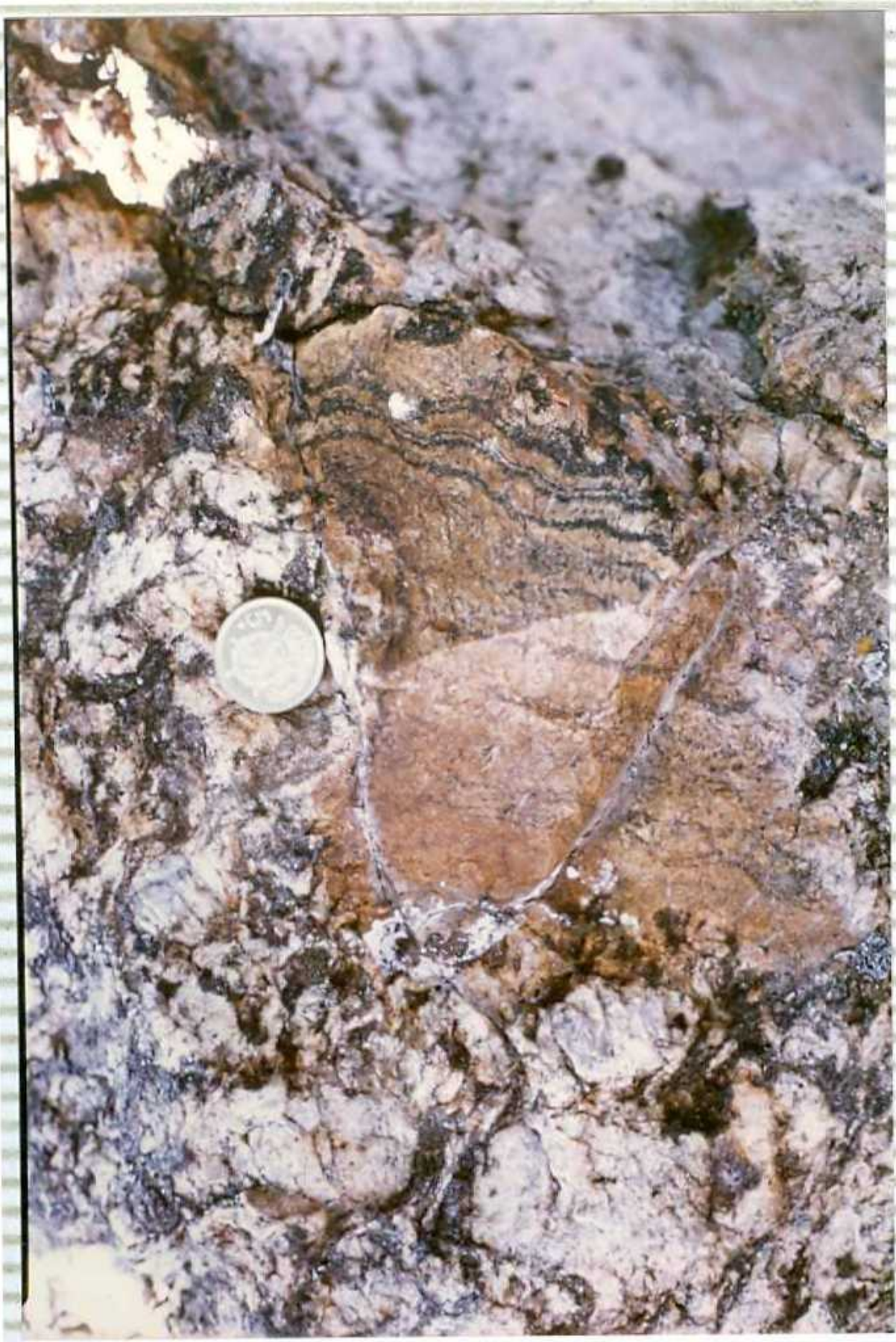



ASAHI
PENTAX





17

















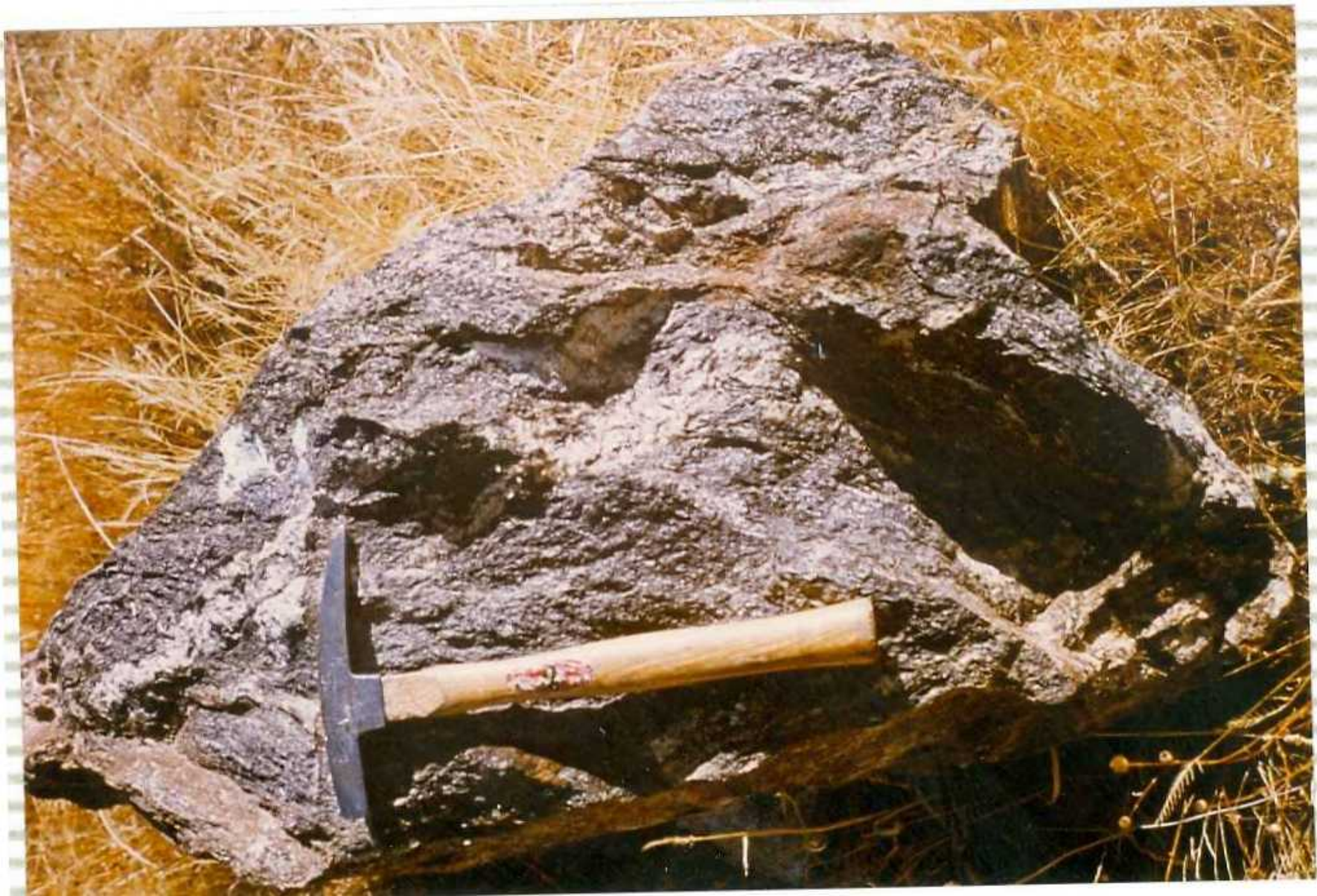




















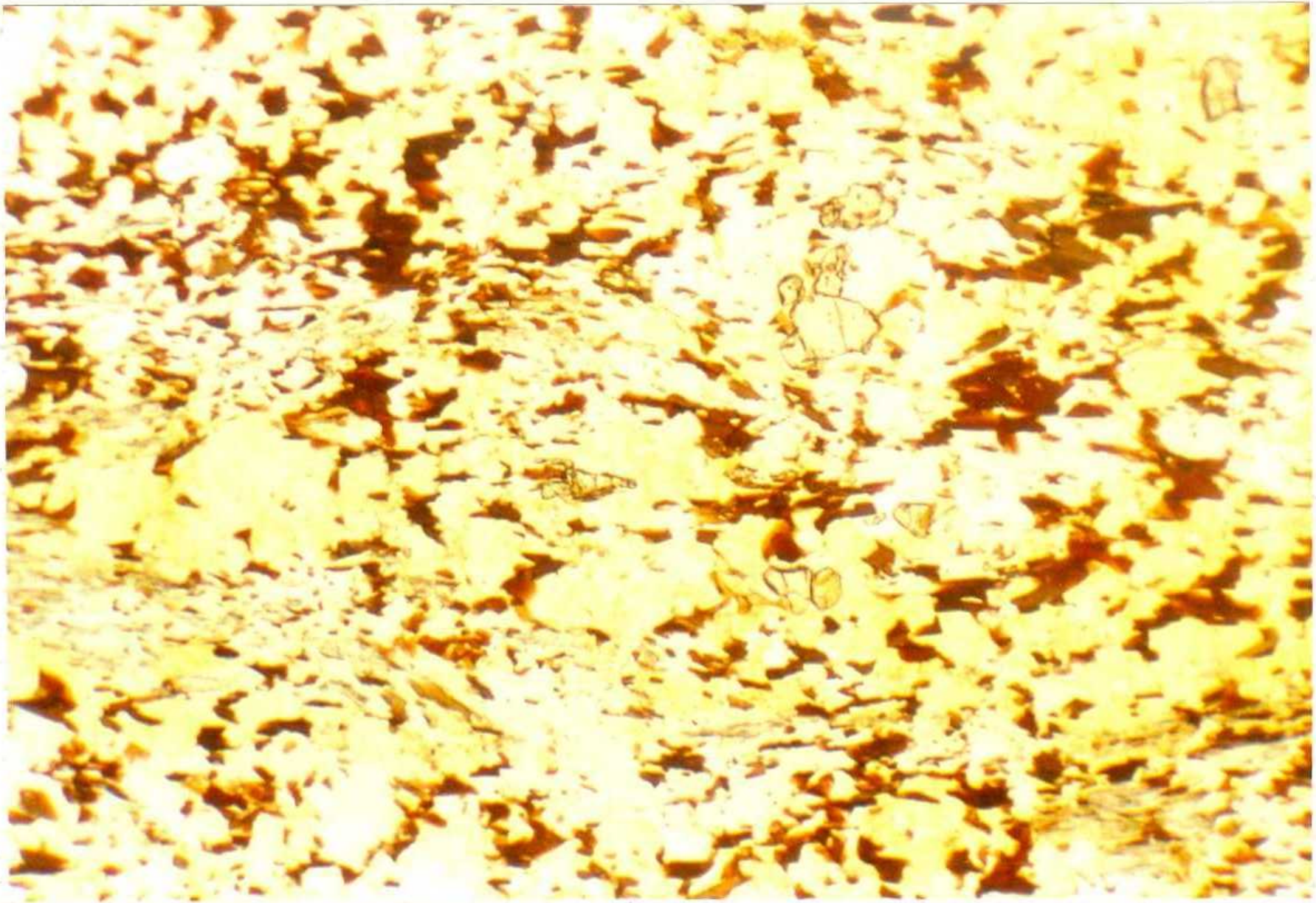






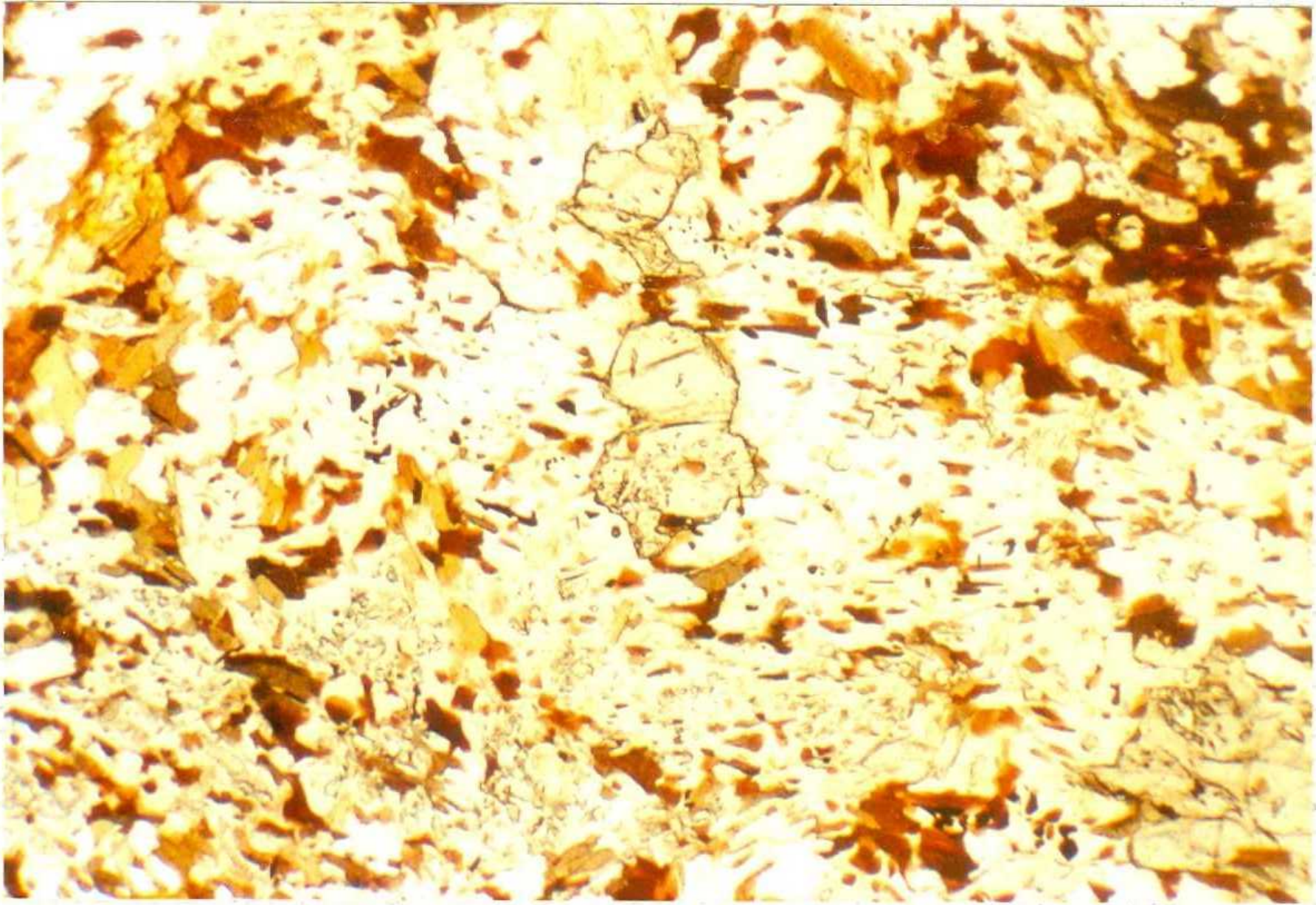


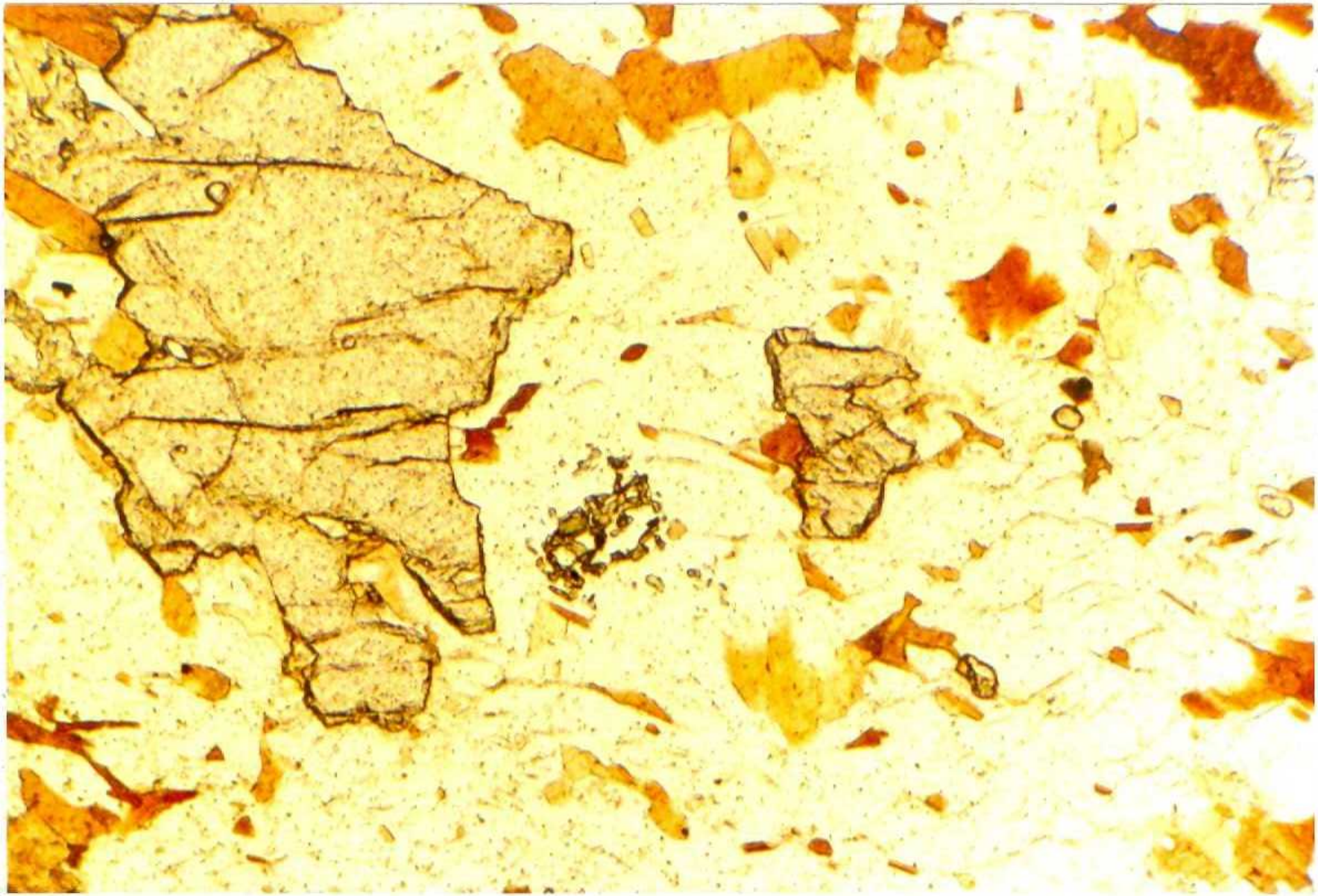


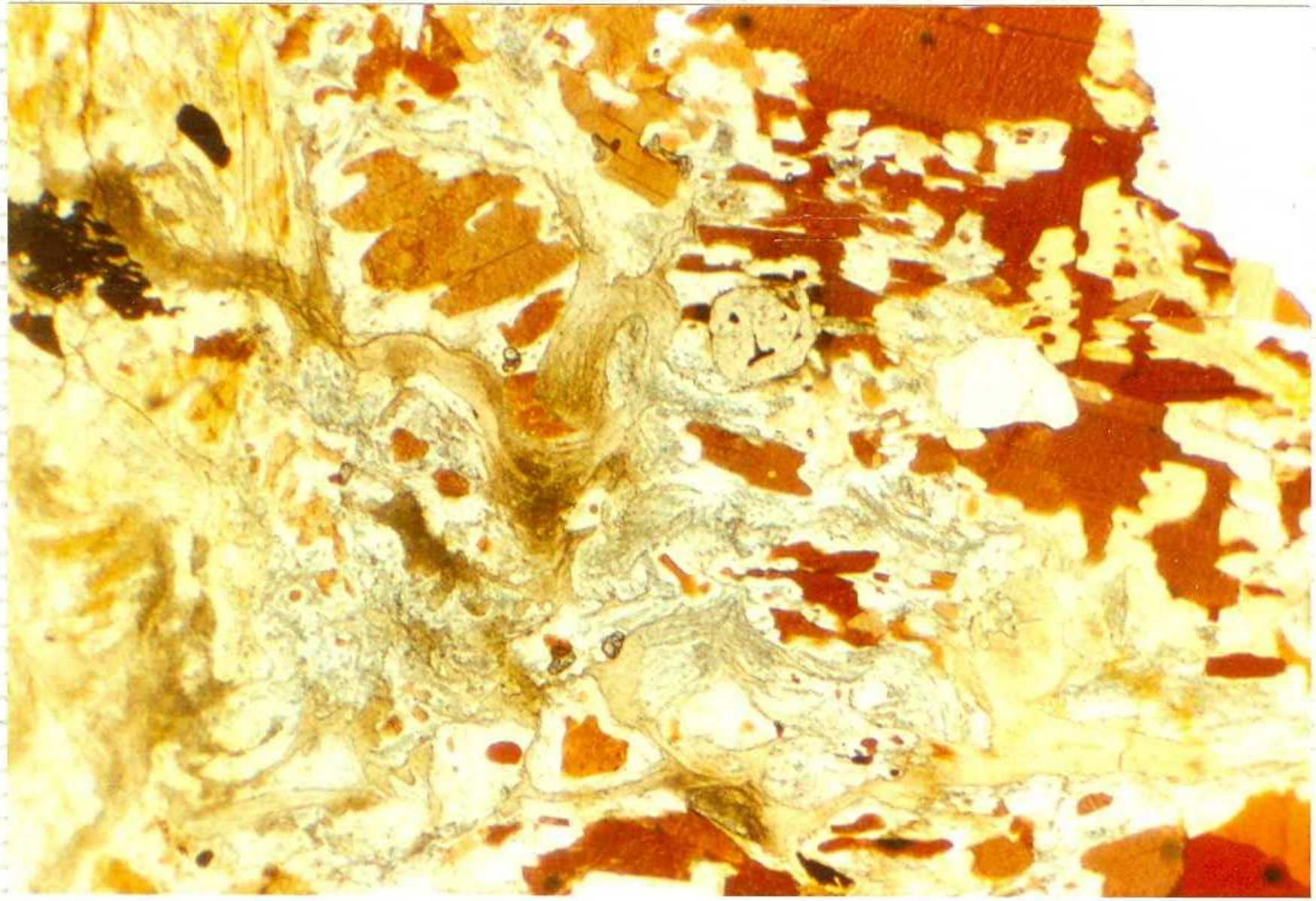


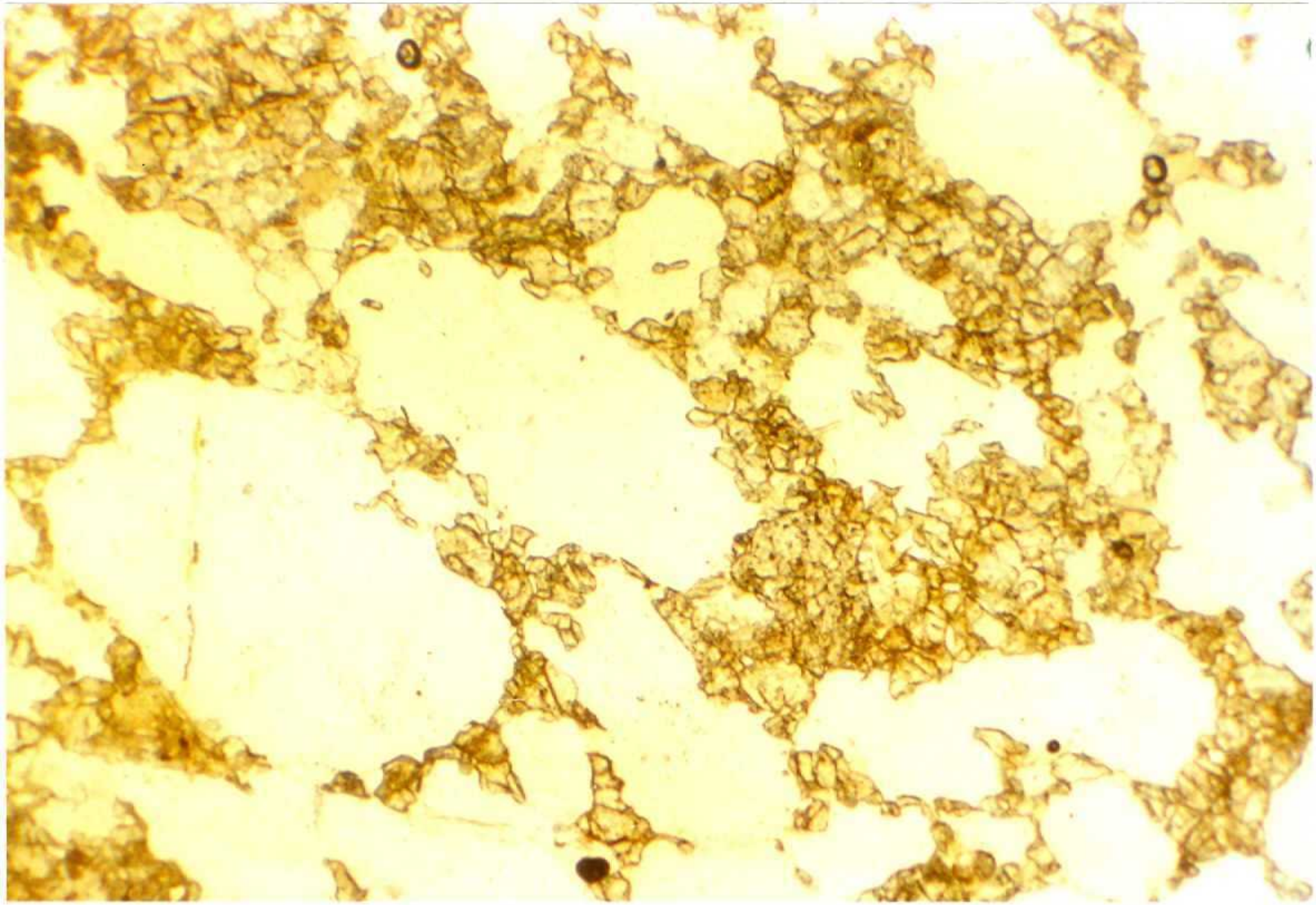


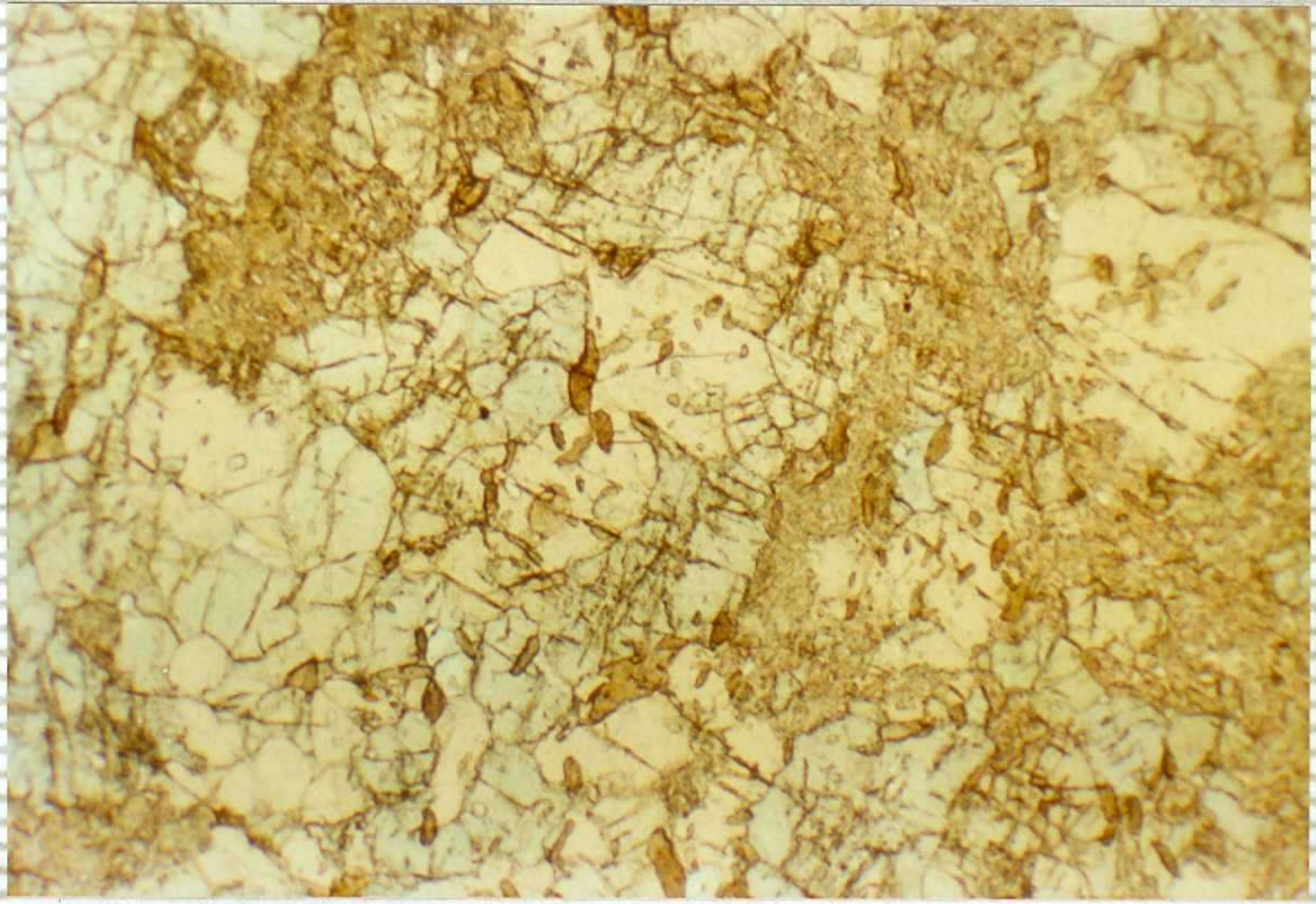
4

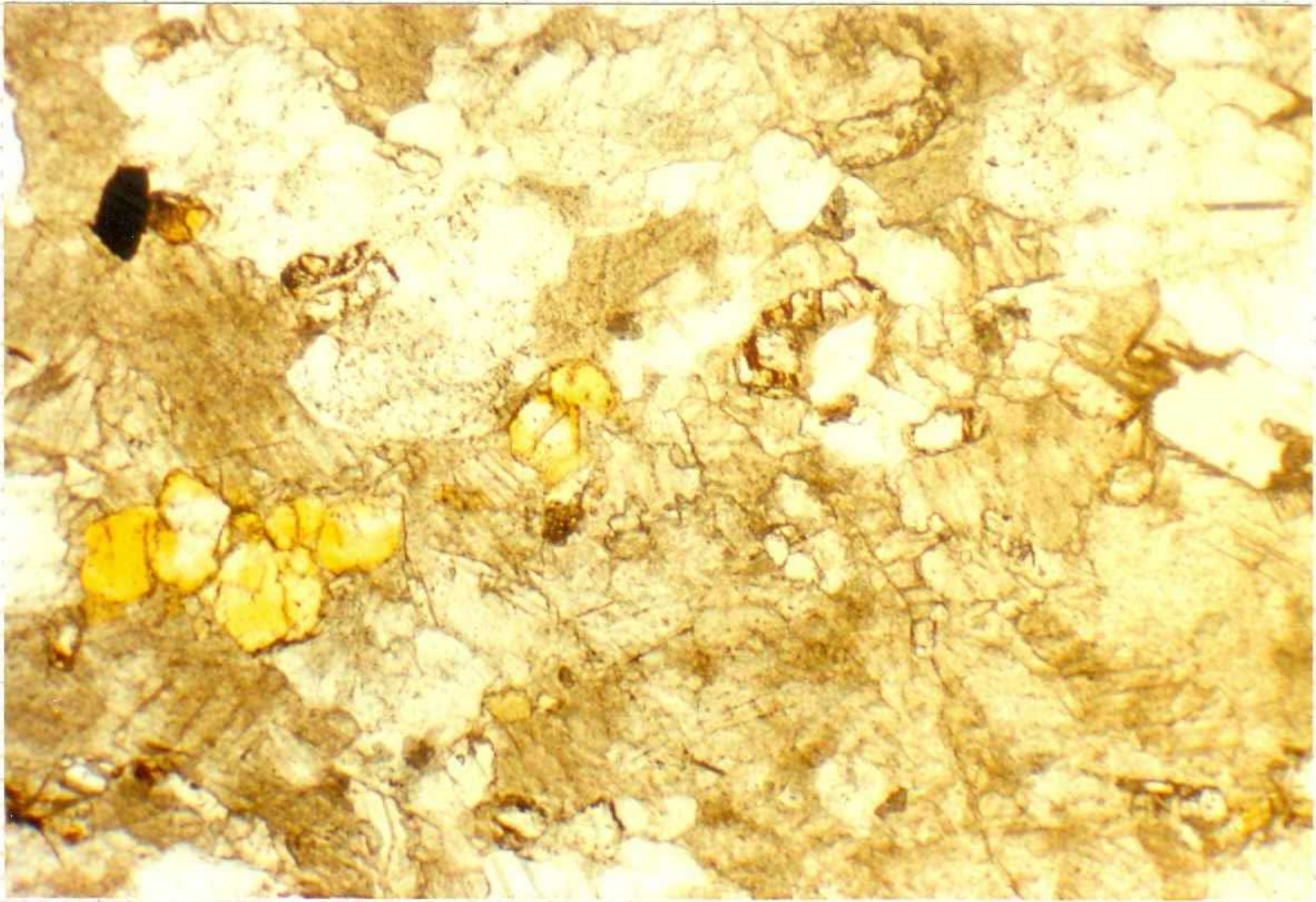


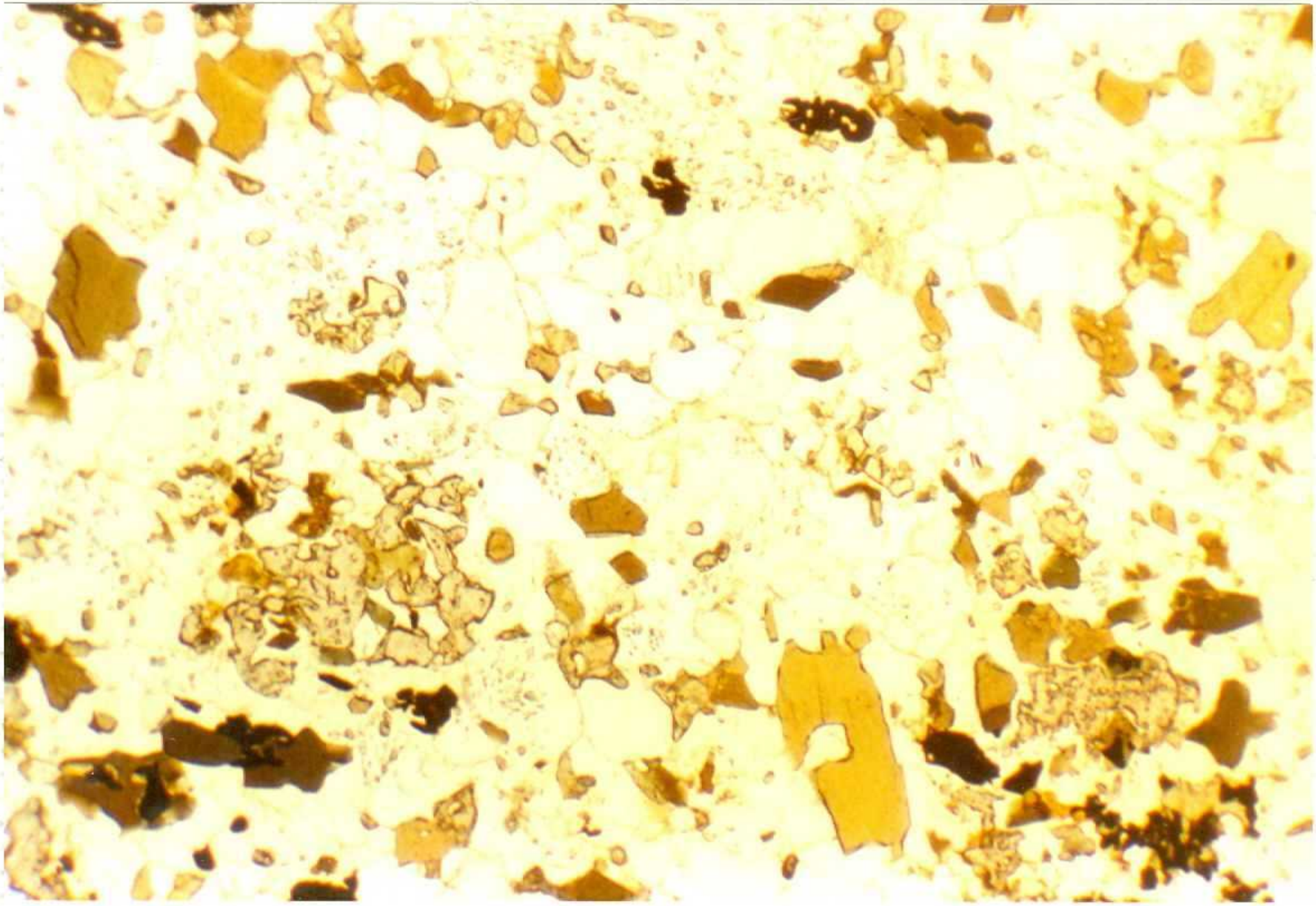


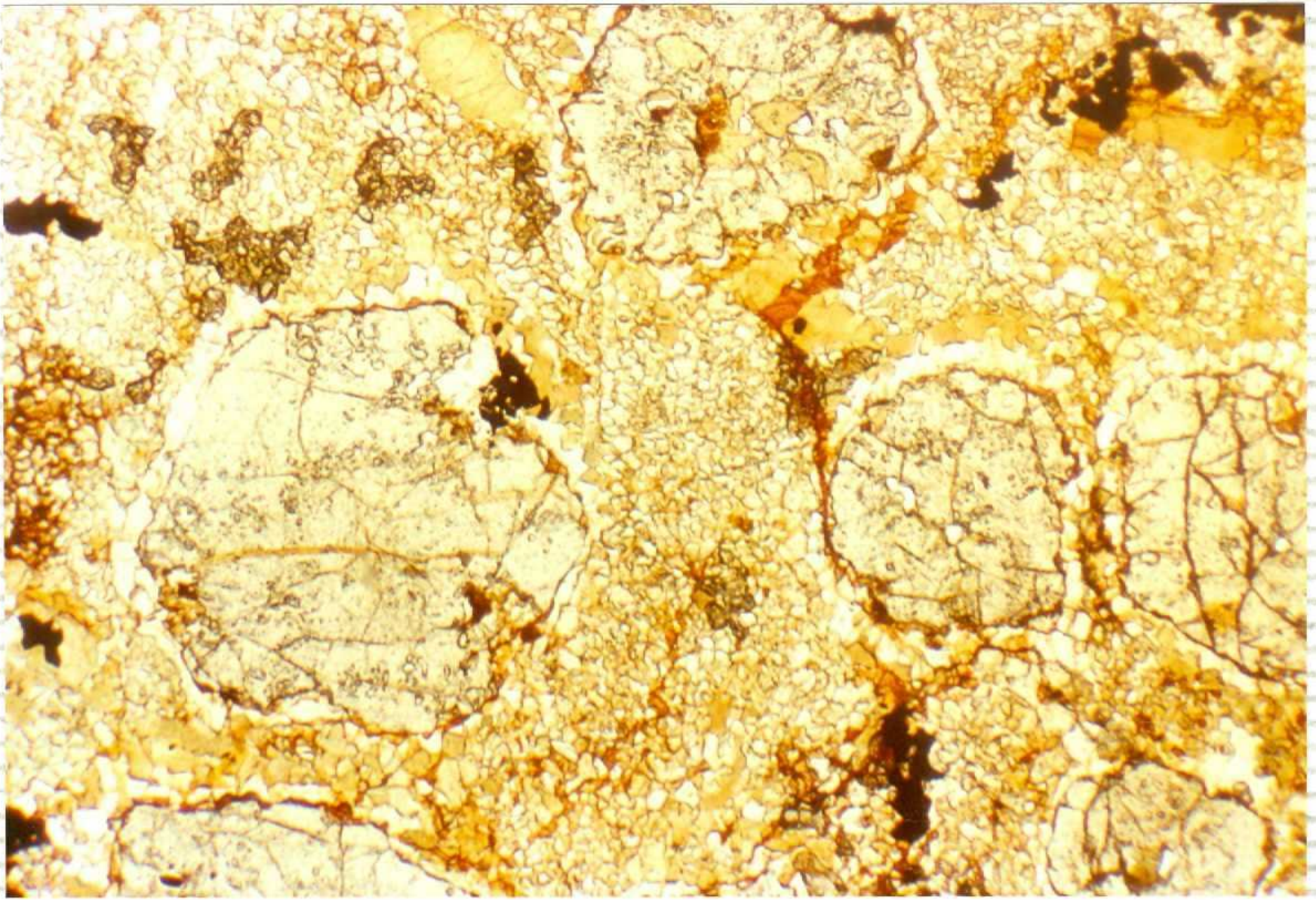


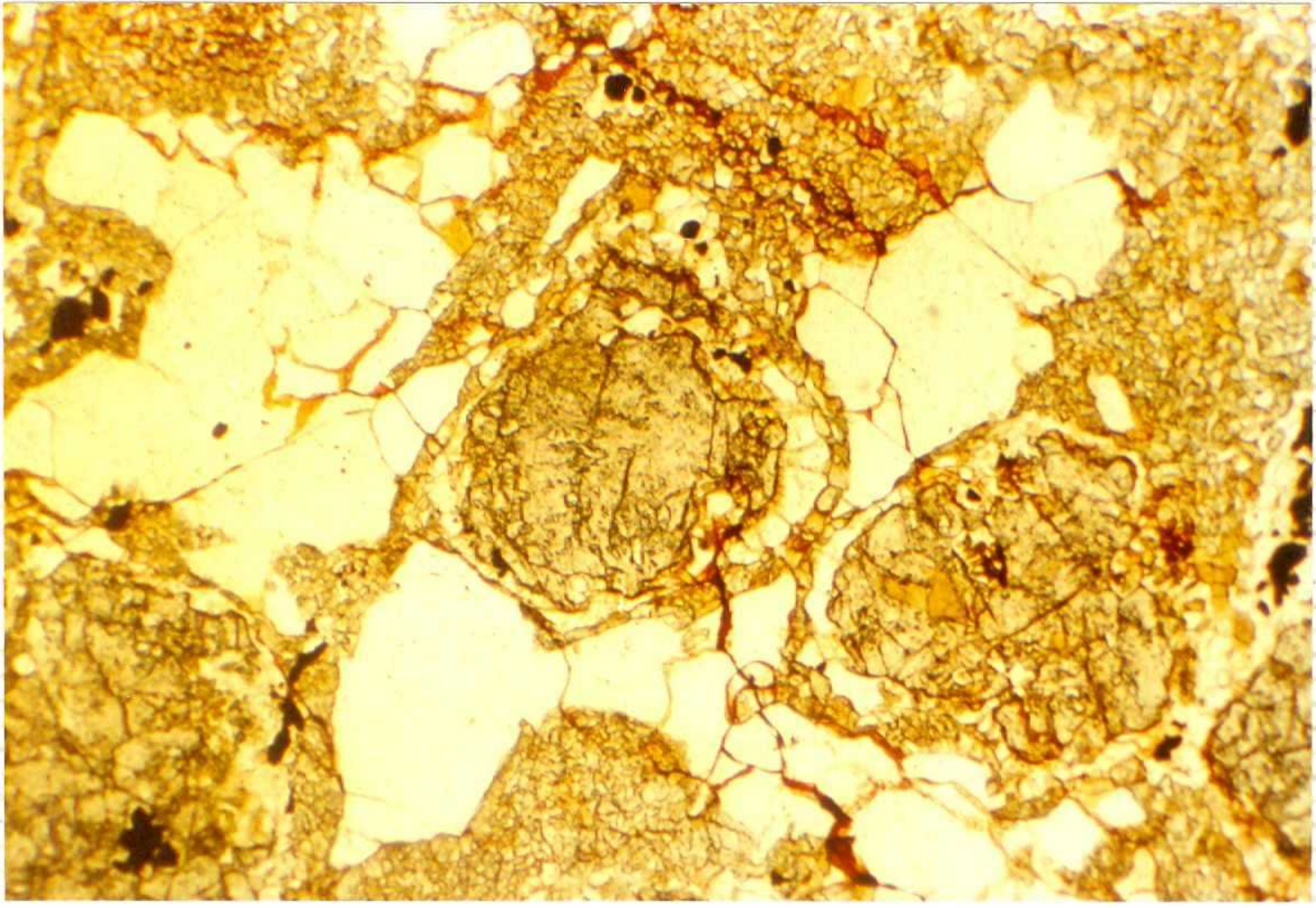


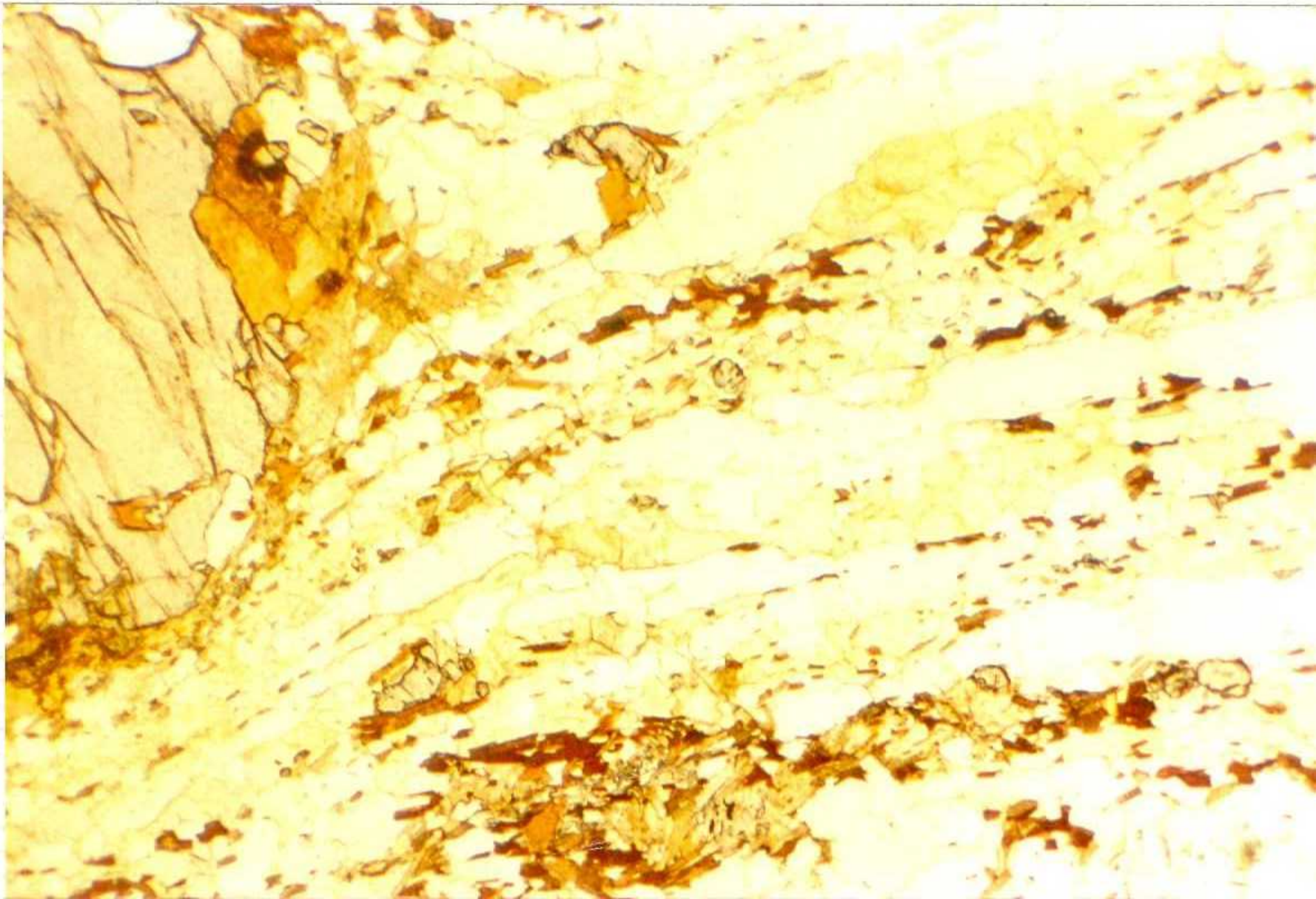




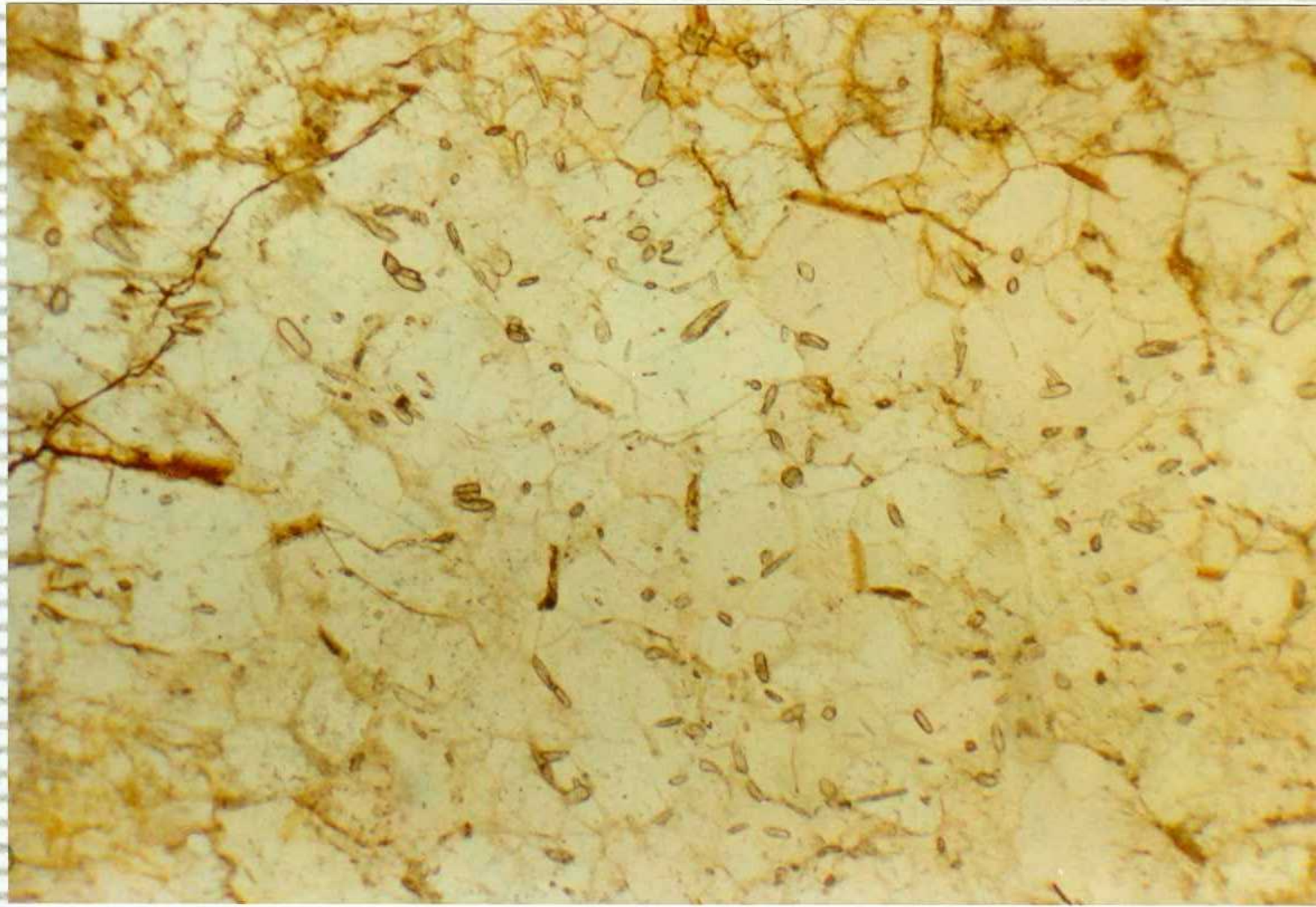


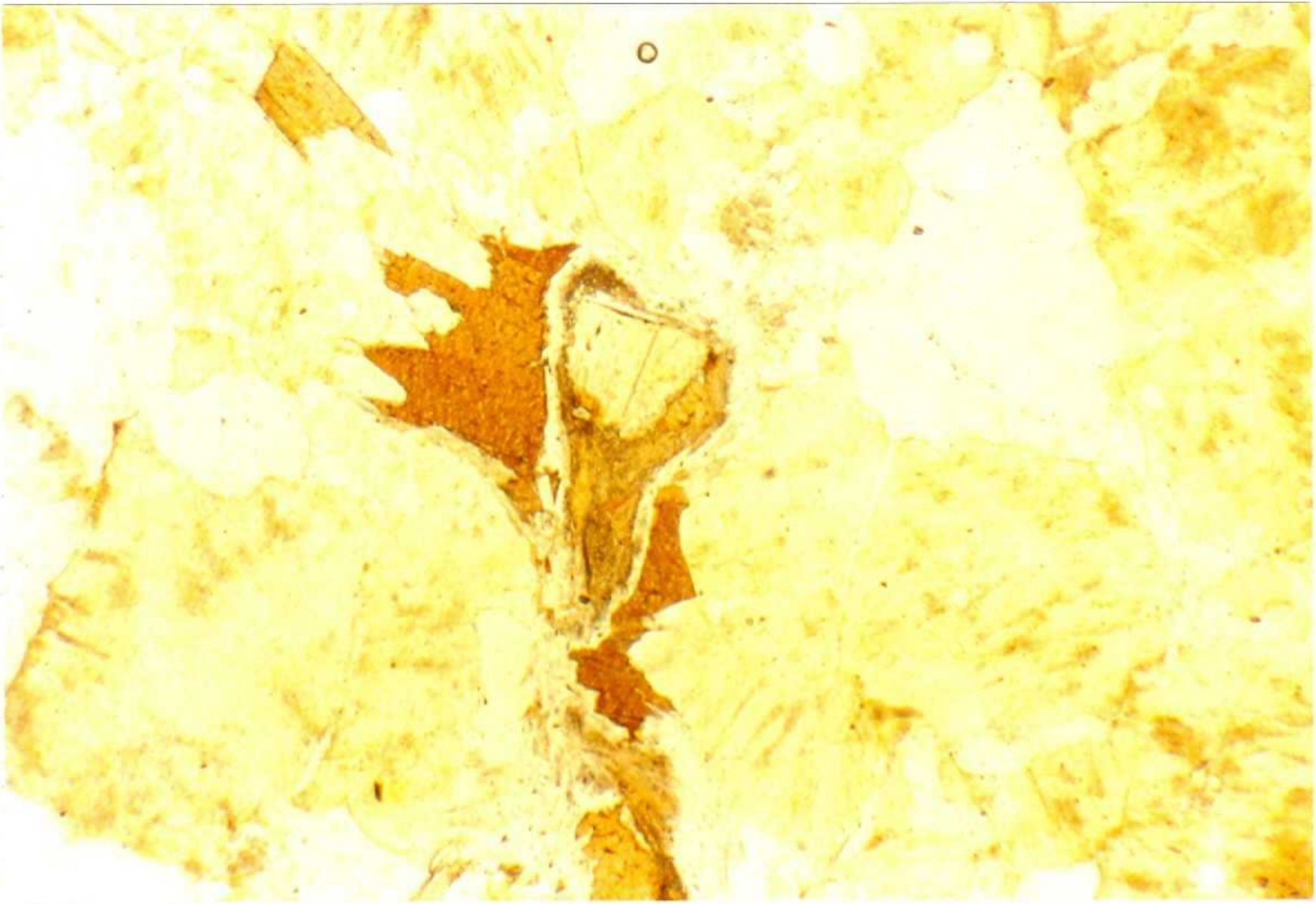


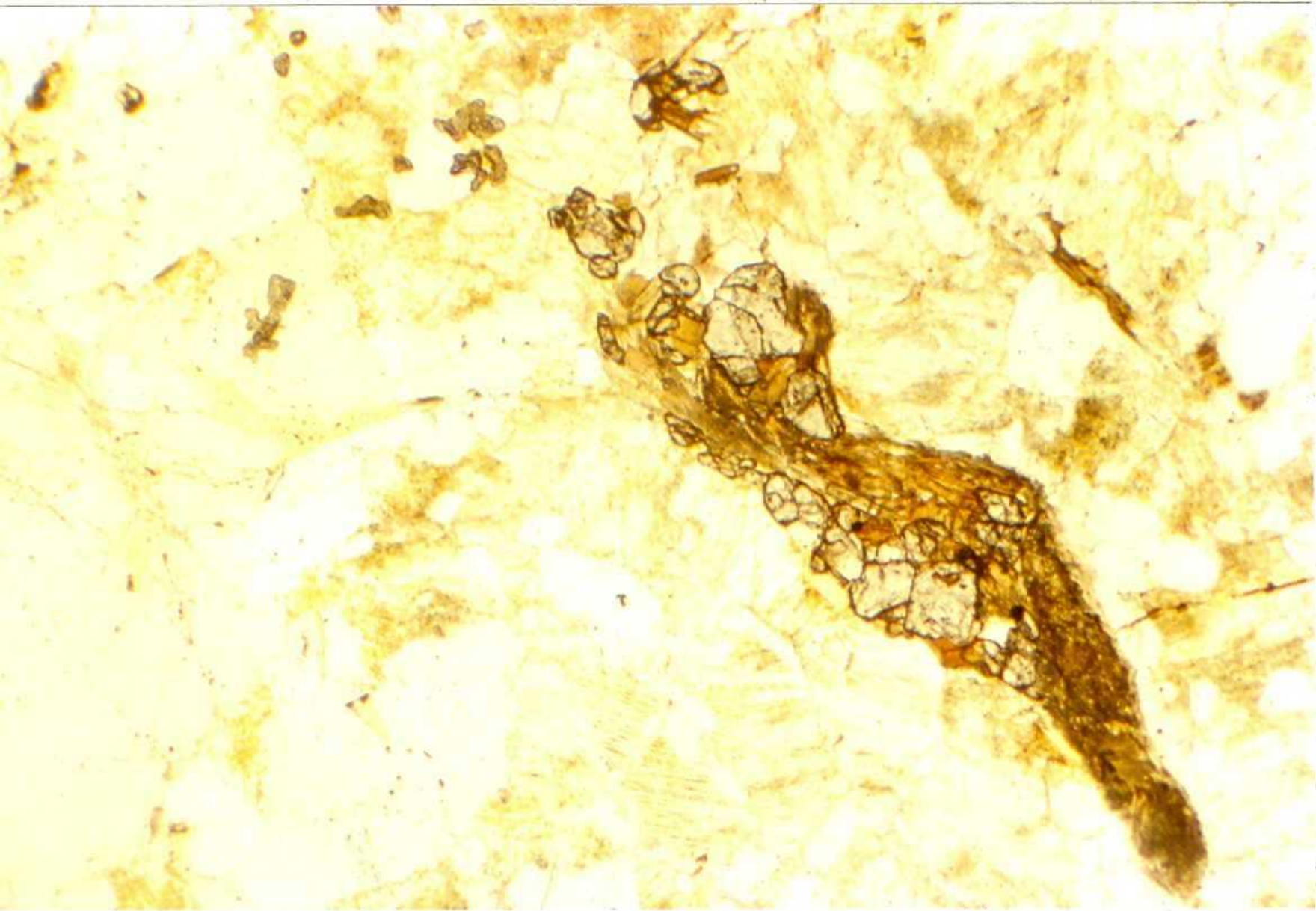


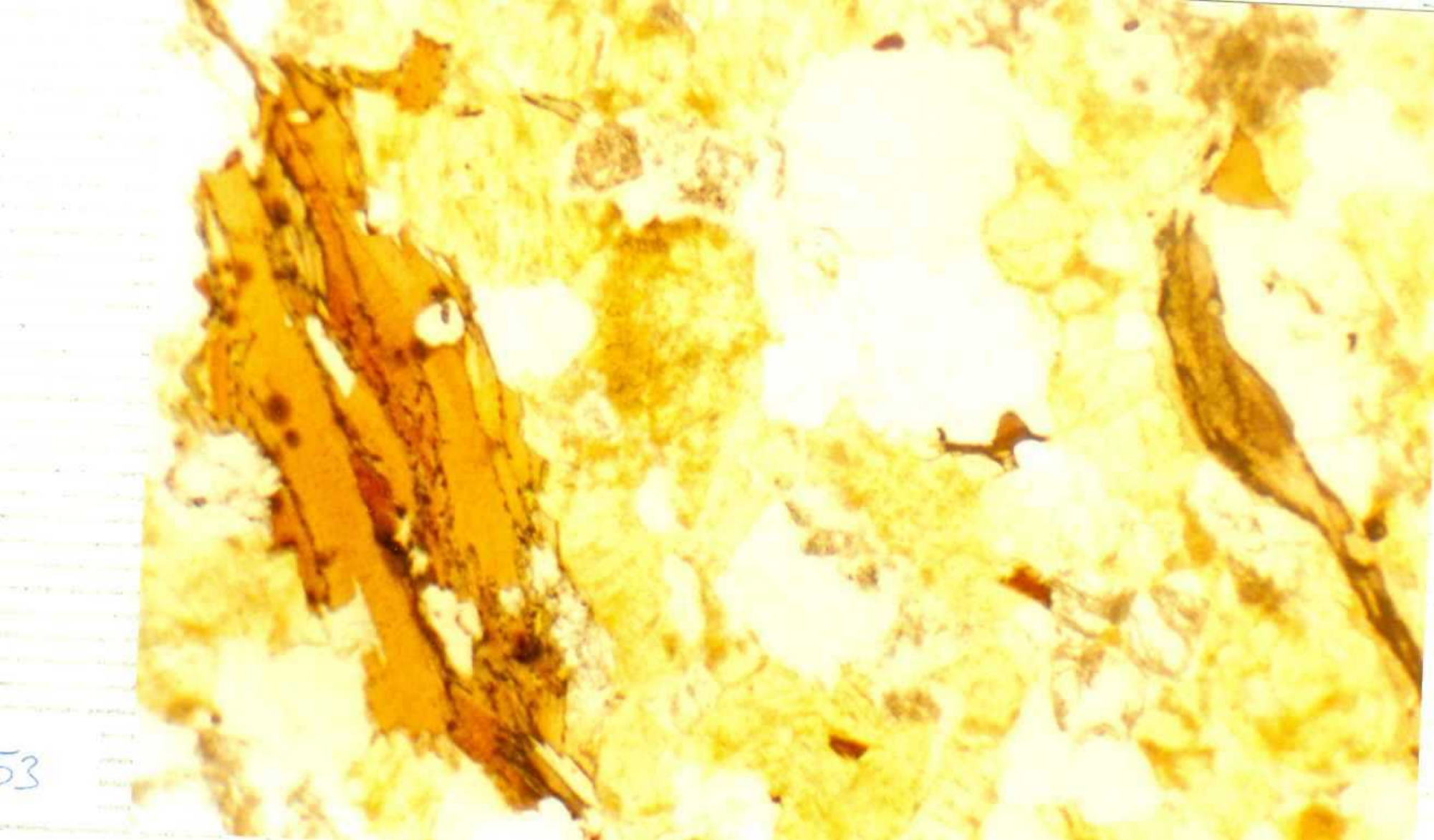




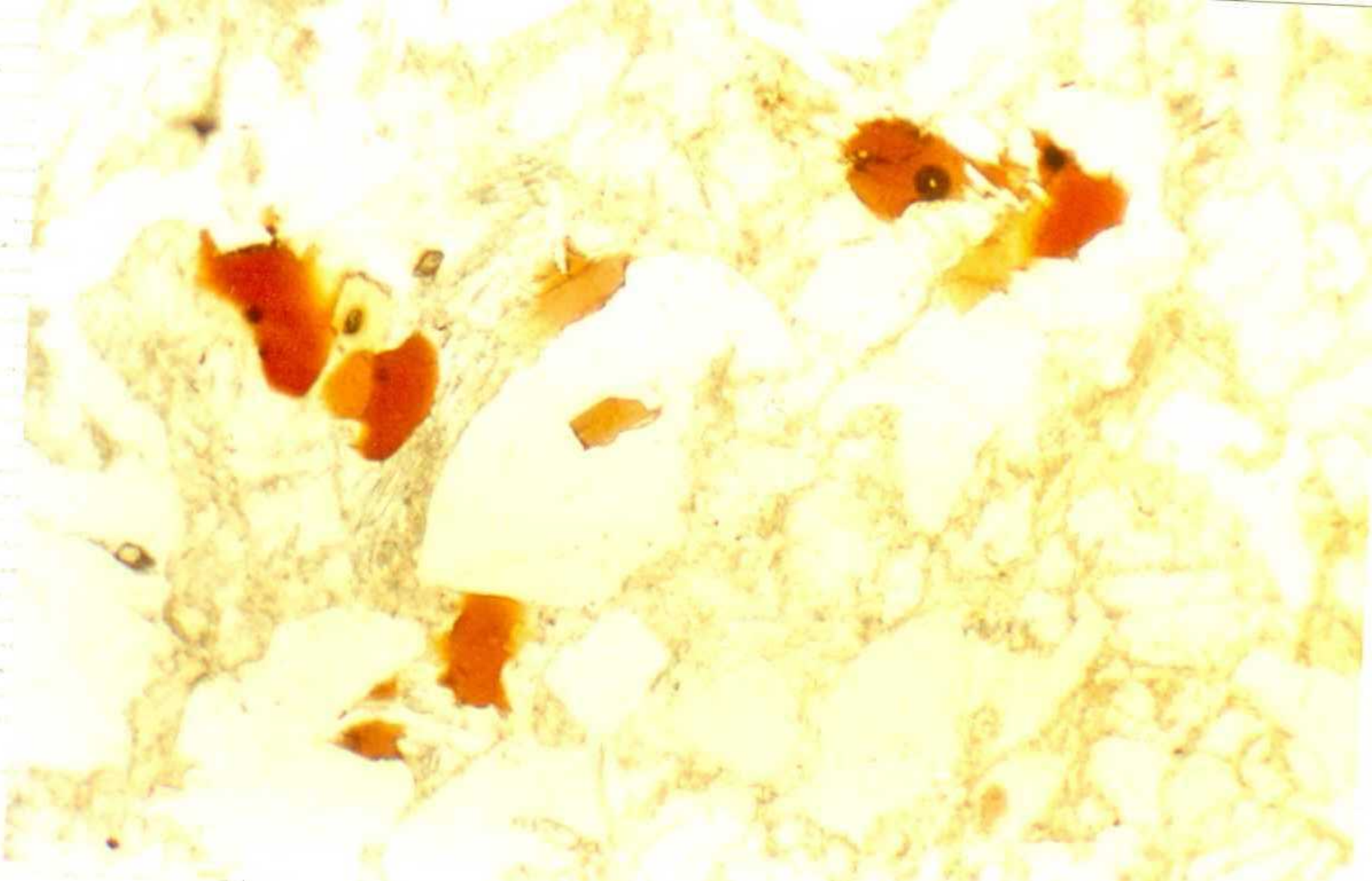




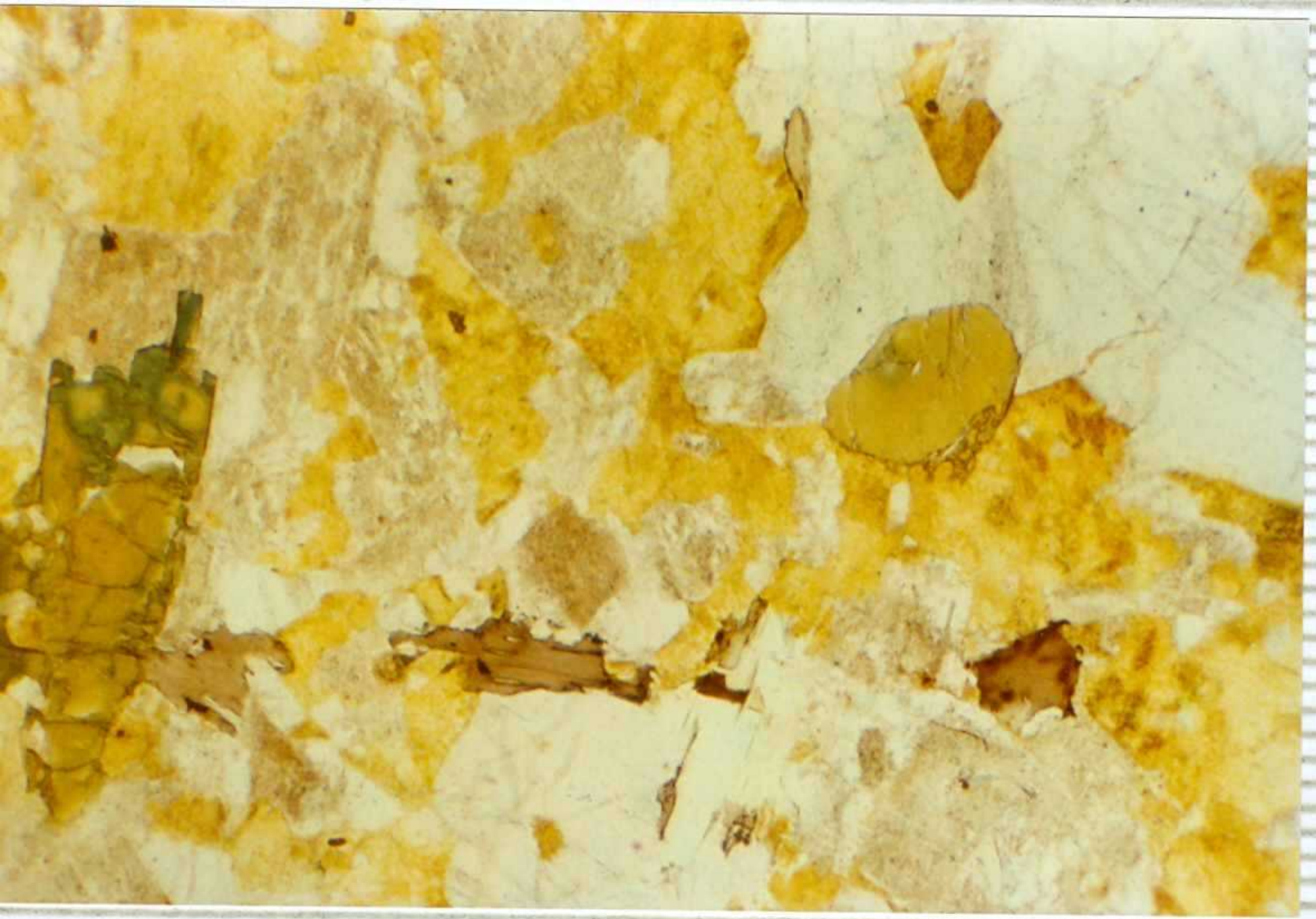




53



54

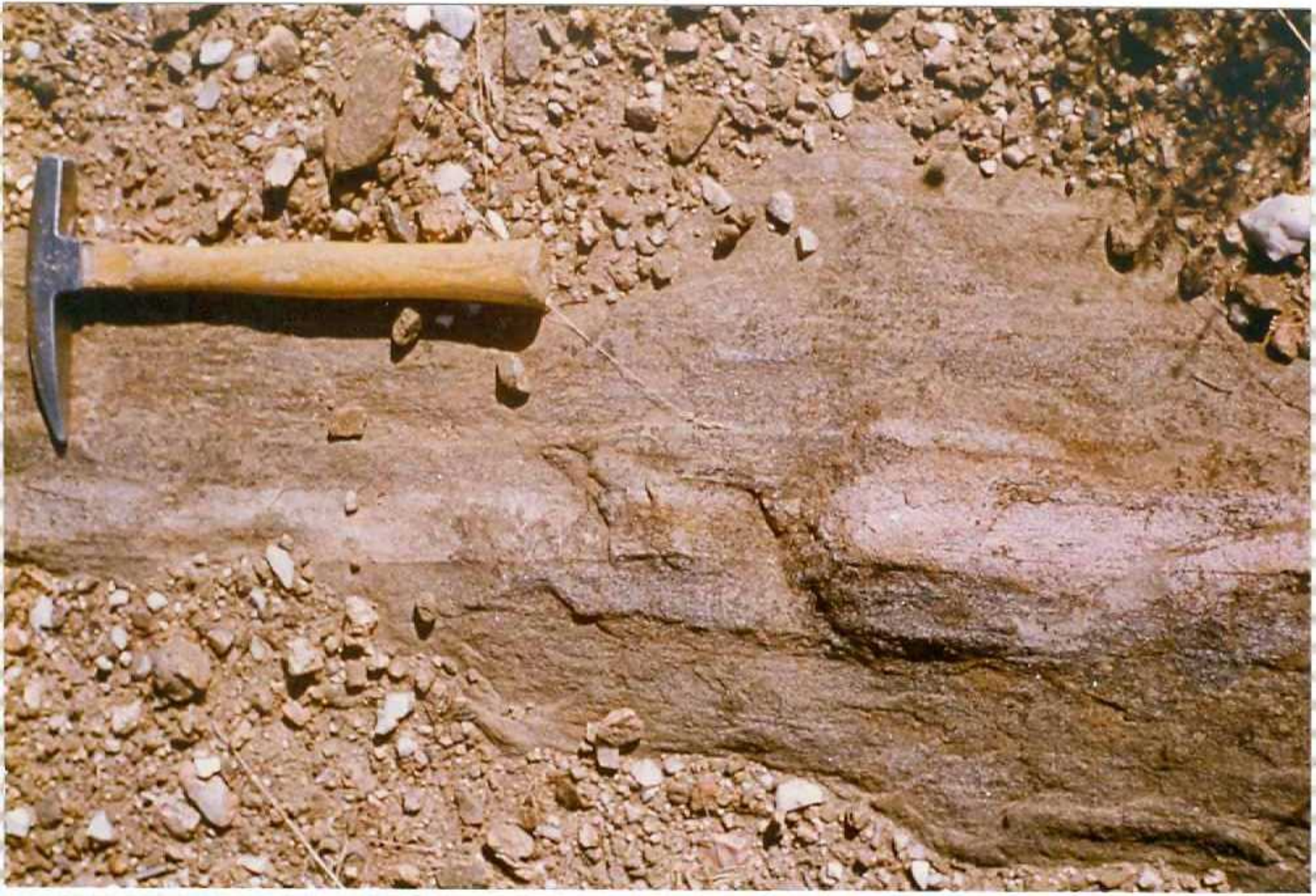






7





FOTOS TUREGANO (457-H1818)

Fotos de Campo

Foto 1.- Bandas metacarbonatadas, fundamentalmente calcosilicatadas, en el paquete metasedimentario de Arroyo Viejo, en Collado Hermoso.

Foto 2.- Niveles de paraneises pelíticos de aspecto esquistoso en el sector de Aldeasaz.

Foto 3.- Paraneises semipelíticos con migmatización en leucosomas discordantes. La Cuesta.

Foto 4.- Pliegues reomórficos en migmatitas a partir de paraneises pelítico. Zona de Romalo Pelado.

Foto 5.- Nebulita con xenolitos de paraneises esquistosos. Arroyo Viejo en Collado Hermoso.

Foto 6.- Niveles cuarcíticos de las bandas metasedimentarias de la zona de Pioja.

Foto 7.- Pliegue similar en niveles calcosilicatados del sector del Arroyo Viejo en Collado Hermoso.

Foto 8.- Ortoanfibolita (ortoneis anfibolítico) con granates del macizo de Las Navas de la Cuesta.

Foto 9.- Bandeado leuco-mela-anfibolita en el mismo macizo de Las Navas de la Cuesta.

Foto 10.- Mela-anfibolita de grano medio, granoblástica, del macizo de Las Navas de la Cuesta.

Foto 11.- Ortoneises glandulares mesócratos con mega-glándulas, del sector de Carrascal del Río.

Foto 12.- Banda leuconeísica (¿metafilon?) en los mencionados ortoneises glandulares mesócratos, y que lleva abundante granate y turmalina asociada.

Foto 13.- Ortoneises glandulares mesócratos milonitizados del sector de Torre Val de S. Pedro.

Foto 14.- Ortoneises glandulares mesócratos con probables bandas ultramilonítica fémicas e inyecciones pegmatíticas tardías. Sector de Carrascal del Río.

Foto 15.- Ortoneis glandular mesócrato rico en microenclaves microgranudos en una facies metaporfídica. Sector de Navas de La Cuesta.

Foto 16.- Enclaves microgranulares oscuros y leuconeísicos en ortoneis glandular mesócrato de Carrascal del Río.

Foto 17.- Enclave leuconeísico en ortoneis glandular mesócrato del sector de El Espirdo.

Foto 18.- Enclave cuarcítico bandeado, discordante con la foliación del ortoneis glandular mesócrato de Basardilla.

Foto 19.- Enclaves xenolíticos (metasedimentarios) en ortoneis glandular que han sido "aprovechados" en la migmatización de la roca. Río Prión.

Foto 20.- Ortoneis glandular metagranítico con pequeños leucosomas (con orlas máficas) estromatíticos.

Foto 21.- Aspecto foliado de los ortoneises metagraníticos de glándula pequeña y dispersa.

Foto 22.- Ortoneis migmatizado con escasas glándulas.

Foto 23.- Ortoneis glandular metagranítico del sector de Pioja.

Foto 24.- Ortoneis glandular metagranítico.

Foto 25.- Microplegado del ortoneis glandular metagranítico.

Foto 26.- Pliegues de F_3 en ortoneises glandulares del sector del Arroyo del Charco.

Foto 27.- Leuconeises con biotita en parches del sector de Carrascal del Río.

Foto 28.- Aspecto general de un leuconeis del área de Carrascal del Río.

Foto 29.- Venas estictolíticas discordantes y segregación de cuarzo en ortoneis glandular de Sto. Domingo de Pirón.

Foto 30.- Migmatita estictolítica con los típicos nódulos cuarzo-cordieríticos oscuros. Sto. Domingo de Pirón.

Foto 31.- Nebulita con nódulos cordieríticos y glándulas residuales parcialmente digeridas. Sotosalbos.

Foto 32.- Enclave cuarcítico algo disarmónico en ortoneis glandular metagranítico. Collado Hermoso.

Foto 33.- Fenómenos de migmatización en varias etapas afectando a ortoneis glandulares. Collado Hermoso.

Foto 34.- Migmatización de ortoneis glandular mesócrato en Torre Val de S. Pedro.

Foto 35.- Granitoide anatéctico discordante al ortoneis glandular. La Cuesta.

Foto 36.- Dique aplítico turmalinífero, masivo, de Santo Domingo de Pirón.

Foto 37.- Xenolito de neis glandular (en punta de bolígrafo) incluido en el granito de Torrecaballeros que muestra un contacto con facies algo más biotítica del mismo.

Foto 38.- Panorámica del vértice 1437 en Torre Val S. Pedro y de la penillanura segoviana.

Fotos de microscopio

Foto 39.- Paraneis corneánico rico en feldespato potásico. Se observan granates alotrioblásticos sin aureolas definidas, así como abundante sillimanita prismática. Lámina 9035 (NPx10).

Foto 40.- Paraneis corneánico con granate residual incluido en agregados cordieríticos que también aprovechan sillimanita y biotitas previas. Lámina 9036 (NPx10).

Foto 41.- Detalle de una aureola cordierítica alrededor del granate corroído donde se observa espinela verdosa, que en otras ocasiones intercrece con la cordierita. Lámina 9036 (NPx25).

Foto 42.- Paraneis pelítico con zonas máficas ricas en biotita, sillimanita y cordierita con abundantes apatitos y circones accesorios. Lámina 9021 (NPx10).

Foto 43.- Cuarcita calcosilicatada con clinopiroxeno cálcico dispuesto intergranularmente al cuarzo. Lámina 9160 (NPx10).

Foto 44.- Roca de silicatos cálcicos con clinopiroxeno verdoso, granate rosado, plagioclasa anubarrada y abundantes microloblastos de esfena marrón. Lámina 9030 (NPx10).

Foto 45.- Mármol con clinohumita amarillenta, forsterita incolora y mica pálida flogopítica. Lámina 9158 (NPx10).

Foto 46.- Neis anfibolítico de Las Navas de la Cuesta con granate muy corroído. Se observan numerosos intercrecimientos de aspecto simplectítico de plagioclasa-clinopiroxeno. Lámina 9024 (NPx10).

Foto 47.- Metabasita granatífera en la que se aprecia cierta aureola doble plagioclásica y anfibólica, entre los granates y clinopiroxenos. Lámina 9068 (NPx10).

Foto 48.- Detalle de la anterior en una banda más rica en cuarzo donde, de nuevo, se observa una estrecha aureola plagioclásica alrededor del granate residual. Lámina 9068 (NPx10).

Foto 49.- Milonita glandular con granate precinemático parcialmente transformado a biotita y cordierita. Lámina 9153 (NPx10).

Foto 50.- Ortoneis glandular mesócrato con probables exoluciones de silicatos alumínicos (sillimanita y distena) en los mosaicos granoblásticos ("triturados") de feldespatos. Lámina 9045 (NPx10).

Foto 51.- Ortoneis glandular metagranítico con sillimanita en los bordes de la biotita, retrometamorfizados a micas blancas. Lámina 9009 (NPx10).

Foto 52.- Leuconeis con granate asociado a las escasas bandas biotítico-sillimaníticas del ortoneis. Lámina 9019 (NPx10).

Foto 53.- Leuconeis con biotita y sillimanita. Lámina 9017 (NPx10).

Foto 54.- Aspecto de un nódulo cordierítico de las migmatitas del sector. Se observa sillimanita prismática relicta (junto a biotita excedente) en su interior. Lámina 9004 (NPx10).

Foto 55.- Granito de Torreiglesias con turmalina tardía, muy intersticial y ocasionalmente a favor de grietas. Lámina 9003 (NPx10).